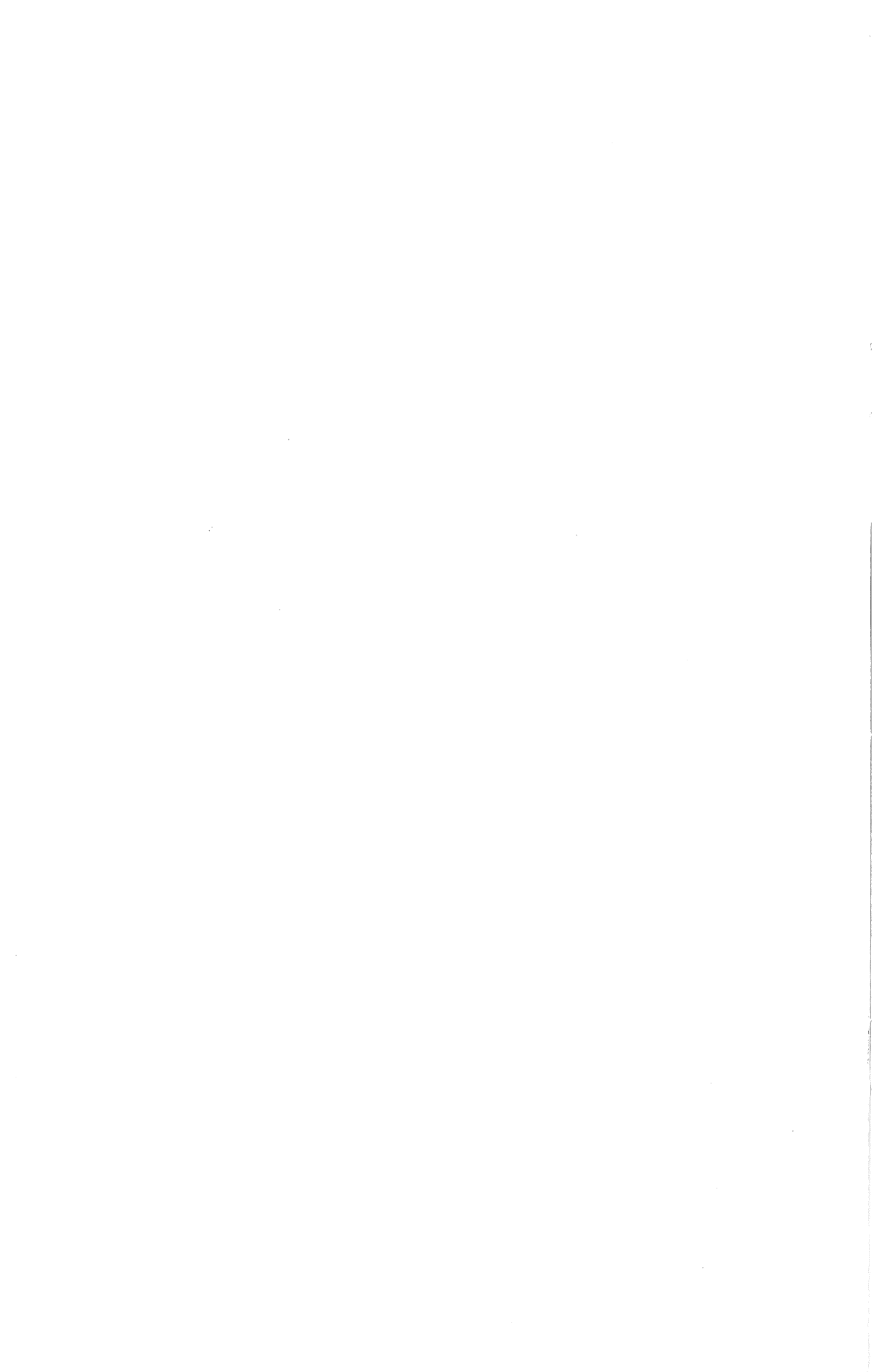


TABLE DES MATIÈRES DU TOME 96

Le tome 96 a paru en 3 fascicules



Index alphabétique des auteurs

Les chiffres entre parenthèses renvoient aux numéros d'ordre des auteurs.

	Pages
1. ANTUN, P., Sur la structure globulitique d'une pyrite sédimentaire du Cambrien de Rochelival (massif de Stavelot)	403
2. AUSTIN, R. L., Modification of the british Avonian conodont zonation and a reappraisal of european Dinantian conodont zonation and correlation	523
3. AUSTIN, R. L., CONIL, R. & RHODES, F. H. T., Recognition of the Tournaisian-Viséan boundary in North America and Britain	165
4. BACCAERT, J., Contribution à l'étude stratigraphique des foraminifères planctoniques de l'Albien supérieur de Wissant (Pas-de-Calais, France)	533
BARTHOLOMÉ, P., Comptes rendus d'ouvrages	435, 436, 437
BOURGUIGNON, P., Compte rendu d'ouvrage	193
BOURGUIGNON, P., voir THOREZ, J. & BOURGUIGNON, P. (42)	
BOURGUIGNON, P., voir THOREZ, J., BOURGUIGNON, P. & SIERAKOWKI, C. (43)	
5. CALTEUX, J., Minerais cuprifères et roches encaissantes à Musoshi, province du Shaba, République du Zaïre	495
6. CALEMBERT, L., Sur un curieux glissement de terrain à Courcelles	55
CALEMBERT, L., Comptes rendus d'ouvrages	192, 435, 436, 437, 440, 442
7. CALEMBERT, L., LAMBRECHT, L. & MONJOIE, A., Géologie du centre de Liège	157
CHAPELIER, A., Comptes rendus d'ouvrages	191, 193, 435
8. CINGOLANI, C. A. & DEUTSCH, S., Ages rubidium-strontium des formations magmatiques de la chaîne de la Ventana (Sierras Australes, province de Buenos Aires, Argentine)	263
CONIL, R., voir AUSTIN, R. L., CONIL, R. & RHODES, F. H. T. (3)	
9. DARIMONT, A., Plissements superposés d'axes croisés à Belle-Isle-en-Mer (Morbihan, France)	447
DARIMONT, A., Compte rendu d'ouvrage	442
10. DELHAL, J. & LEDENT, D., L'âge du complexe métasédimentaire de Luiza, région du Kasai, Zaïre	289
11. DELIENS, M., Premiers résultats d'une étude infrarouge de zircons métamictes datés par la méthode U/Pb	275
12. DENAEYER, M. E., L'éruption du volcan Rugarama en 1971 et ses produits (Nyamuragira, Kivu)	91
DENAEYER, M. E., Présentation d'ouvrage	189
DEUTSCH, S., voir CINGOLANI, C. A. & DEUTSCH, S. (8)	
DEUTSCH, S., voir FRANSSSEN, L. & DEUTSCH, S. (19)	
13. DOZY, M. J. J., L'eau et la genèse des minerais hydrothermaux	387
14. ELIASSI, S. D., Observations hydrogéologiques dans le synclinal de Walgrappe	87

	Pages
15. ELIASSI, S. D., Caractères de la schistosité dans le Dévonien inférieur au S. de Salm-Château	129
16. ELQUINE, J., Les orages souterrains. Les nouvelles idées sur le rôle de l'énergie électrique en Géologie	121
17. FOURNEAU, R., Un exemple d'application de la carte géomorphologique de Belgique	361
18. FOURNEAU, R., La morphologie de l'interfleuve Escaut-Sambre au niveau des bassins Senne-Dyle & Piéton	565
19. FRANSSSEN, L. & DEUTSCH, S., Un cas d'anorthosite résiduelle par ultra métamorphisme de roches supracrustales (Vikesaa, Norvège méridionale)	373
20. JUVIGNÉ, E., Une méthode de séparation des pollens applicable aux sédiments minéraux	253
21. JUVIGNÉ, E., Densité des exines de quelques espèces de pollens et spores fossiles	363
22. JUVIGNÉ, E., Datation de sédiments quaternaires à Tongrinne et à Tilff par des minéraux volcaniques	411
LAMBRECHT, L., Compte rendu d'ouvrage	436
LAMBRECHT, L., voir CALEMBERT, L., LAMBRECHT, L. & MONJOIE, A. (7)	
23. LAWRENCE, D. R., Concepts et méthodes de travail en paléocéologie	483
LEDENT, D., voir DELHAL, J. & LEDENT, D. (10)	
24. LEFEBVRE, J. J., Présence d'une sédimentation pyroclastique dans le Mwashia inférieur du Shaba méridional (ex Katanga)	197
25. LEGRAND, J. M., Migmatitisation, métasomatisme local et anatexie partielle des séries métamorphiques de la région de Grindheim-Kirkhei (Norvège méridionale)	455
26. LOVE, L. G. et VANGUESTAINE, M., Polyframboidal pyrite of the Rochelival pyrite beds (Belgian Ardennes)	347
27. MACAR, P., Structures sédimentaires diverses dans le coticule du bord sud du massif de Stavelot	133
MACAR, P., Comptes rendus d'ouvrages	194, 438
28. MALPICA, R., Étude micropaléontologique du Viséen de Chokier	219
29. MAMET, B., Remarques sur la microfaune des brèches viséennes de la Belgique et du nord de la France	469
30. MONJOIE, A., Hydrogéologie des nappes d'eau souterraine à Watermael-Boitsfort	625
31. MONJOIE, A., Hydrogéologie du centre de Liège	709
MONJOIE, A., voir CALEMBERT, L., LAMBRECHT, L. & MONJOIE, A. (7)	
MONJOIE, A., voir THOREZ, J. & MONJOIE, A. (44)	
32. MONTY, Cl. L. V., Precambrian background and Phanerozoic history of stromatolitic communities, an overview	585
33. MULLER, A., PARTING, H. et THOREZ, J., Caractères sédimentologiques et minéralogiques des couches de passage du Trias au Lias sur la bordure nord-est du bassin de Paris	671
34. MUNAUT, A. V. & PAULISSEN, E., Évolution et paléocéologie de la vallée de la Petite Nèthe au cours du Post-Würm (Belgique)	301
PARTING, H., voir MULLER, A., PARTING, H. & THOREZ, J. (33)	
PAULISSEN, E., voir MUNAUT, A. V. & PAULISSEN, E. (34)	
PEL, J., Rapport du trésorier	736

	Pages
35. PIRLET, H., Réponse à la note de Monsieur B. Mamet : « Remarques sur la microfaune des brèches viséennes de la Belgique et du nord de la France »	475
RHODES, F. H. T., voir AUSTIN, R. L., CONIL, R. & RHODES, F. H. T. (3)	
ROCHE, E., voir SCHUMACKER-LAMBRY, J. & ROCHE, E. (36)	
36. SCHUMACKER-LAMBRY, J. & ROCHE, E., Étude palynologique (pollens et spores) des marnes à empreintes de Gelinden (Paléocène, Belgique)	413
SIERAKOWKI, C., voir THOREZ, J., BOURGUIGNON, P. & SIERAKOWSKI, C. (43)	
37. SEGURA, L. R., Révision des foraminifères de la coupe type de Sovet (Viséen inférieur)	233
38. TACK, L., Le massif de la Lufu et sa bordure (République du Zaïre)	31
39. TACK, L., Le Massif de Yoyo et sa bordure (République du Zaïre)	49
40. THADEU, D., Les gisements stanno-wolframitiques du Portugal	5
41. THOREZ, J., Étude des minéraux argileux dans le Tertiaire du sondage de Watermael-Boitsfort (Bruxelles)	641
THOREZ, J., voir MULLER, A., PARTING, H. et THOREZ, J. (33)	
42. THOREZ, J. & BOURGUIGNON, P., Minéraux argileux des argiles de dissolution des calcaires dinantiens en Condroz	59
43. THOREZ, J., BOURGUIGNON, P. & SIERAKOWSKI, C., Associations de minéraux argileux dans les sables tertiaires de Boncelles (Belgique)	105
44. THOREZ, J. & MONJOIE, A., Lithologie et assemblages argileux de la smectite de Herve et des craies campaniennes et maestrichtiennes dans le nord-est de la Belgique	651
UBAGHS, G., Compte rendu d'ouvrage	192
UBAGHS, G., Rapport du secrétaire général	735
VANGUESTAINE, M., voir LOVE, L. G. & VANGUESTAINE, M. (26)	

Index alphabétique des matières

Les chiffres entre parenthèses renvoient aux numéros de l'index des auteurs.

- Albien : foraminifères de l'Albien de Wissant (4).
Amérique du Nord : limite Tournaisien-Viséen en Amérique du Nord (3).
Anatexie : séries métamorphiques de Grindheim-Kirkhei (25).
Anorthosite : cas d'anorthosite résiduelle (19).
Argentine : géochronologie (8).
Avonien : conodontes (2).
Belle-Isle-en-Mer : plissements (9).
Boncelles : minéraux argileux des sables tertiaires (43).
Cambrien : pyrite globulitique (1); pyrite polyframboïde (26).
Condroz : (42).
Conodonte : zonation et corrélation dans Carbonifère (2).
Coticule : (27).
Courcelles : glissement de terrain (6).
Craie : lithologie et minéralogie de craies campaniennes et maestrichtiennes (44).
Crétacé : smectite de Herve et craies campaniennes et maestrichtiennes, lithologie et minéralogie (44).
Cuivre : minerais cuprifères (5).
Datations : (8); (10); (11); (22).
Dinantien : conodontes (2); minéraux argileux (42).
Escaut-Sambre : morphologie de l'interfleuve Escaut-Sambre (18).
Étain : gisements stannite-wolframitiques (40).
Foraminifères : Albien de Wissant (4); Viséen de Chokier (28); coupe type de Sovet (37).
France : plissements à Belle-Isle-en-Mer (9).
Gelinden : palynologie des marnes de Gelinden (36).
Géomorphologie : (17); (18).
Grande-Bretagne : limite Tournaisien-Viséen en Grande-Bretagne (3).
Grindheim-Kirkhei : séries métamorphiques (25).
Holocène : (34).
Hydrogéologie : synclinal de Walgrappe (14); nappes d'eau souterraine à Watermael-Boitsfort (30); centre de Liège (31).
Hydrothermaux : minerais hydrothermaux (13).
Liège : géologie du centre de Liège (7); hydrogéologie du centre de Liège (31).
Lufu : massif de la Lufu (38).
Luiza : âge du complexe sédimentaire de Luiza (10).
Métallogénie : (5); (13); (40).
Métasomatisme : séries métamorphiques de Grindheim-Kirkhei (25).
Micropaléontologie : (2); (3); (4); (28); (29); (34); (35); (36); (37).
Migmatisation : séries métamorphiques de Grindheim-Kirkhei (25).
Minéralogie des argiles : (33); (41); (42); (43); (44).

- Minéraux volcaniques : (22).
Musoshi : minerais cuprifères (5).
Mwashia : sédimentation pyroclastique (24).
Norvège : (19); (25).
Orages souterrains : (16).
Paléocène : marnes à empreintes de Gelinden (36).
Paléoécologie : concepts et méthodes (23); vallée Petite Nèthe (34).
Palynologie : marnes de Gelinden (36).
Paris : bassin de Paris, couches de passage Trias-Lias (33).
Petite Nèthe : évolution et paléo-écologie au Post-Würm (34).
Pétrographie : (1); (19); (24); (25); (26).
Plomb : datation par uranium/plomb (11).
Pollens : méthode de séparation des pollens (20); densité des exine de quelques pollens (21).
Portugal : gisements stanno-wolframitiques (40).
Pyrite : structure globulitique (1); pyrite polyframboïde (26).
Radiométrie : (8); (10); (11).
Rochelival : pyrite (1); (26).
Rubidium : datation par rubidium/strontium (8).
Rugarama : éruption du Rugarama (12).
Salm-Château : schistosité (15).
Schistosité : Dévonien inférieur près Salm-Château (15).
Sédimentologie : (20); (24); (27); (33).
Shaba : minerais cuprifères (5); sédimentation pyroclastique (24).
Smectite : minéralogie de la smectite de Herve (44).
Sovet : foraminifères de la coupe type de Sovet (37).
Spores : densité des exines de spores fossiles (21).
Stavelot : massif de Stavelot, pyrite (1); (26); coticule (27).
Stratigraphie : (2); (3); (4); (28); (29); (35).
Stromatolithes : Precambrian background and Phanerozoic history (32).
Strontium : datation par rubidium/strontium (8).
Tilff : (22).
Tongrinne : (22).
Tournaisien : limite Tournaisien-Viséen (3).
Trias : sédimentologie et minéralogie du passage du Trias au Lias (33).
Uranium : datation par U/Pb (11).
Ventana : géochronologie (8).
Vikesaa : cas d'anorthosite résiduelle (19).
Viséen : limite Tournaisien-Viséen (3); Viséen de Chokier (28); microfaune des brèches du Viséen (29); (35).
Volcanologie : (12).
Walgrappe : hydrogéologie (14).
Watermael-Boitsfort : hydrogéologie (30); minéraux argileux (41).
Wissant : foraminifères de l'Albien (4).
Wolfram : gisements stanno-wolframitiques (40).
Yoyo : massif de Yoyo (39).
Zaire : minerais cuprifères (5); éruption du Rugarama (12); âge du complexe sédimentaire de Luiza (10); sédimentation pyroclastique dans Mwashia (24); massif de la Lufu (38); massif de Yoyo (39).
Zircons : datation (11).